









Современный сезонный ручей

## ПУТИ РЕАЛИЗАЦИИ НЕФТЕГАЗОВОГО ПОНЕНЦИАЛА ЗАПАДНОЙ СИБИРИ

## Особенности строения верхнемеловых отложений Западной Сибири как результат фрактального самоподобия природных структур

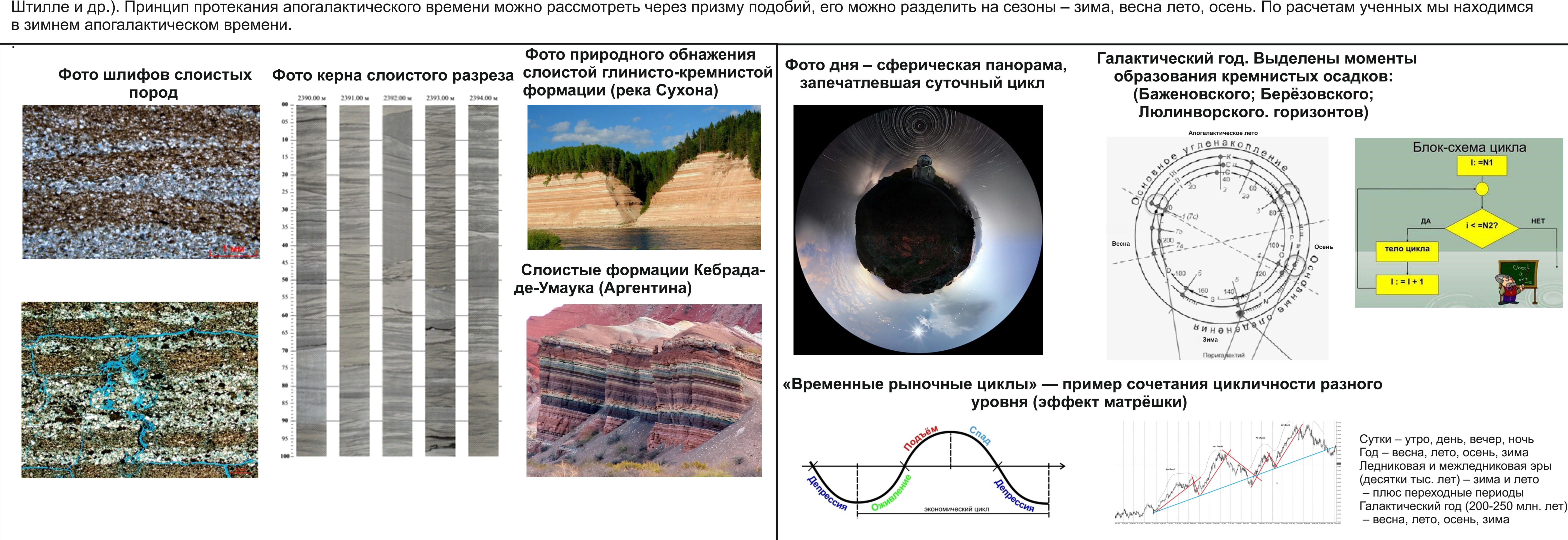
Кудаманов А.И., Карих Т.М., Гладышев А.А. (ООО «Тюменский нефтяной научный центр»)

Похожесть части на целое, и наоборот, подразумевает принцип подобий. С помощью метода сравнений предметов можно более точно описывать природные явления и окружающий нас мир в целом. Природные объекты с точки зрения геологии можно увидеть в сезонный ручье, в нем можно разглядеть все фациальные элементы речной меандрирующей системы – сеть речных каналов, старицы рек, береговые долины, прирусловые отмели и другие части системы. Данный принцип позволяет по другим углом взглянуть на окружающий мир. Вглядываясь простые элементы природы можно увидеть в простом сложное.



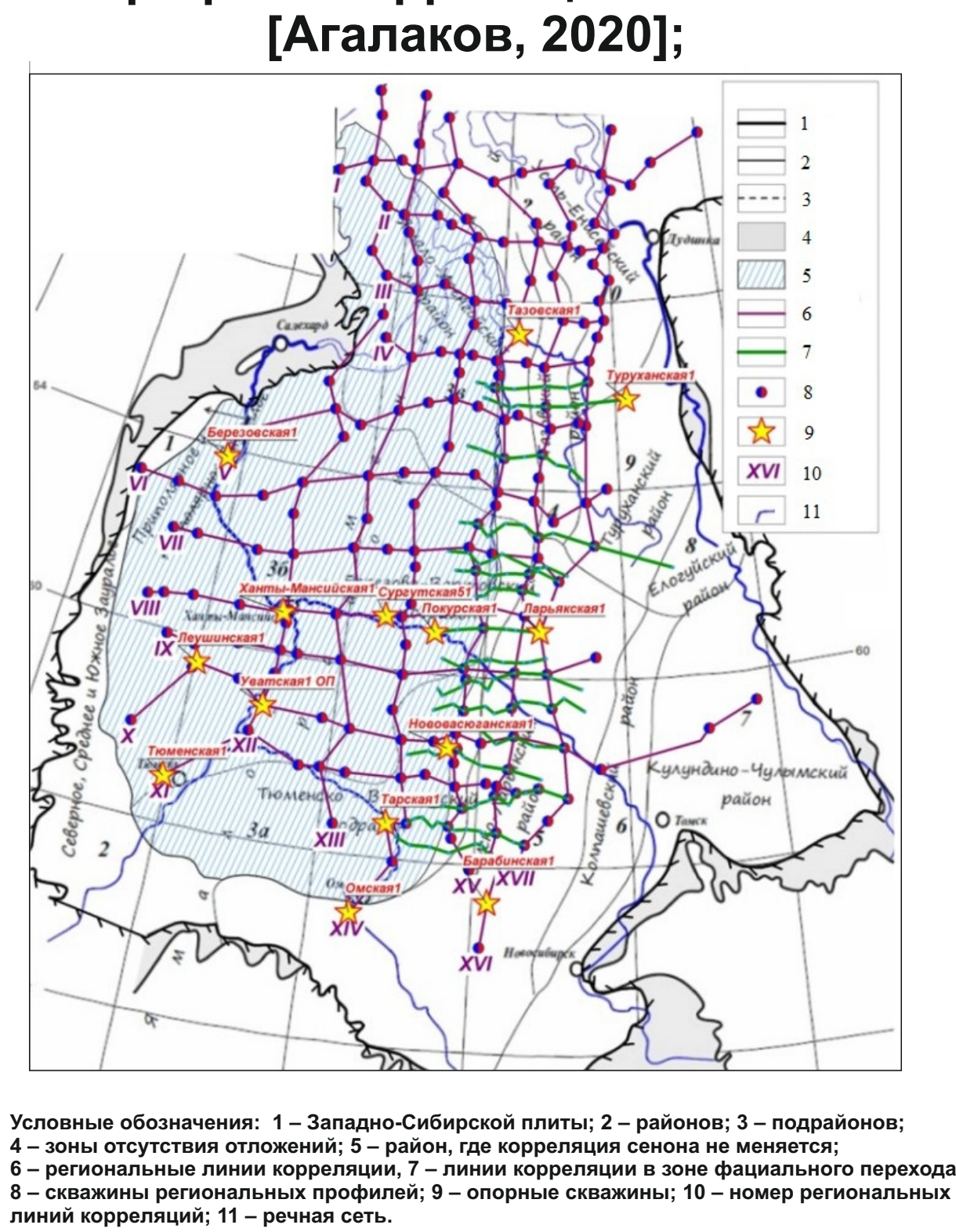
Сезонный ручей – природная модель Речная дельта реки Миссисипи слабо меандрирующего русла

Принцип подобия присутствует в структурных особенностях осадочных горных пород, которые как правило, характеризуются разномасштабной слоистостью. Комплекс мелких слойков – составная часть слоя. Системы слоев образуют серии слоёв, а серии образуют пачки серий, толщи пачек, чередование толщ и.т.д. Все это многообразие вещественного состава обуславливается разномасштабными цикличными колебаниями условий осадконакопления – суточные, месячные, годовые, солнечные циклы в десятки и сотни лет; циклы в десятки и сотни млн. лет (тектонические циклы Уилсона, Бертрана, Штилле и др.). Принцип протекания апогалактического времени можно рассмотреть через призму подобий, его можно разделить на сезоны – зима, весна лето, осень. По расчетам ученных мы находимся



## Пример подобия бассейнов

Региональные и детальные схематичные профили корреляции скважин





Озеро Карачи Новосибирской области.

Площади палеогеографических областей мелового периода Западной Сибири (тыс. км2) Длина 2500 м, ширина 1450 м, глубина не более 2 м (ил по всему озеру – на глубине

более 0,001 доли длиной оси Другими словами, море – это тончайшая плёнка на дне плоского блюдечка

40-80 см). Площадь – 3,62

км². Глубина составляет не

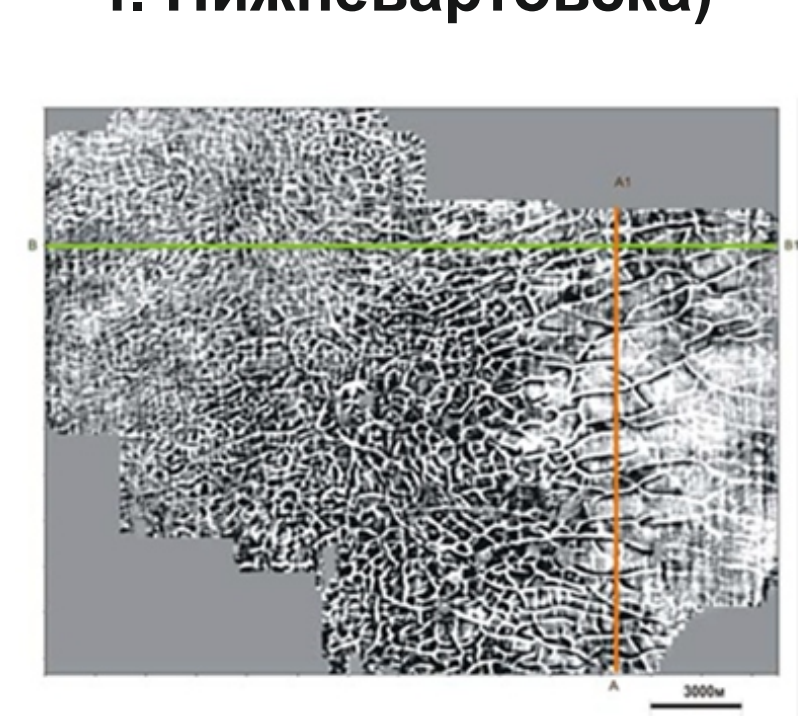


При длине Западносибирского моря в туроне-кампане 2000 км и глубине не более 100 м, толщина водного слоя составляла всего 0,00005 долей от длины бассейна. Т.е. на 1,5 порядка меньше, чем в оз. Карачи.

Принимая оз. Карачи аналогом турон-кампанского Западносибирского моря, можно представить масштабы распределения объёмов воды по площади бассейна.

## Примеры трещиноватости

Седиментационный срез сейсмического куба 3Д на уровне горизонта TR (над сеноманом в районе г. Нижневартовска)



[Гогоненков и др., 2002]

Интервал коньяка-кампана на

по временному срезу на уровне

978 мс.

Песцово-Енъяхинской площадь

седиментационный сейсмический

Септарии

линии АА1 в интервале развития полигональных нарушений (в районе Нижневартовска)

Песцово-Енъяхинской площади: подсвиты березовской свиты,

установлены факты аномальной разломной нарушенности надсеноманских отложений на востоке

Нижневартовского свода (центральной части ЗСП) и в пределах Северного мегавала Пур-Тазовского района

ОГ С2 (кровля верхней

ВПБС) Медвежье

месторождение

ОГ СЗ (кровля стратона НБ1)

Медвежье месторождение

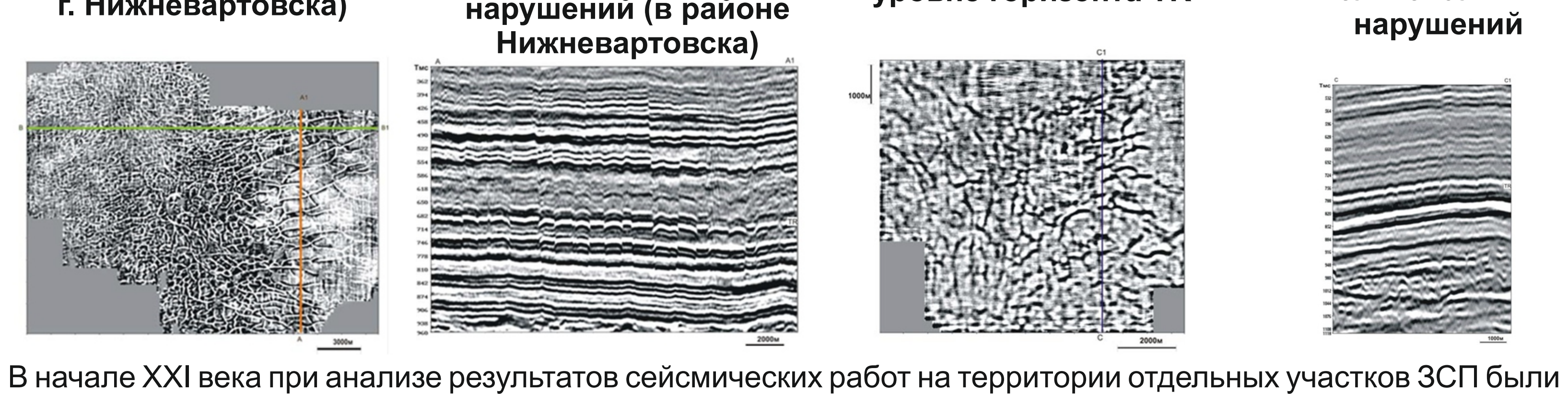
Фрагмент

меридионального

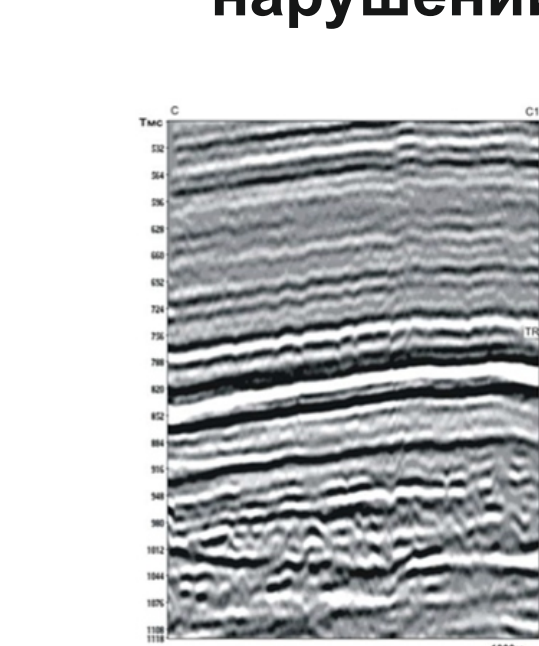
сейсмического разреза по 3Д по площади в Пур-Тазовском районе на уровне горизонта TR

Седиментационный срез

части сейсмического куба



Фрагмент сейсмического разреза по линии СС1 в интервале развития полигональных нарушений



ОГ С3а (кровля стратона НБ2)

Медвежье месторождение

ОГ С4 (кровля кузнецовской свиты)

Медвежье месторождение

[Пережогин, 2017].

На палеогеоизохронных поверхностях на временах 0,3-0,8 мсек, было установлено, что вся площадь покрыта сетью пересекающихся линий, образующих полигоны (различные по размеру и форме). Наиболее ярко эффект проявляется внутри горизонта, названного TR, вблизи границы меловых и палеогеновых отложений. На вертикальном сечении вдоль

профиля АА1 сеть представляет собой систему малоамплитудных разломных нарушений. На

востоке, где сеть редкая и размер полигонов до 600-1000 м (в поперечнике), они чётко разделяются друг от друга.

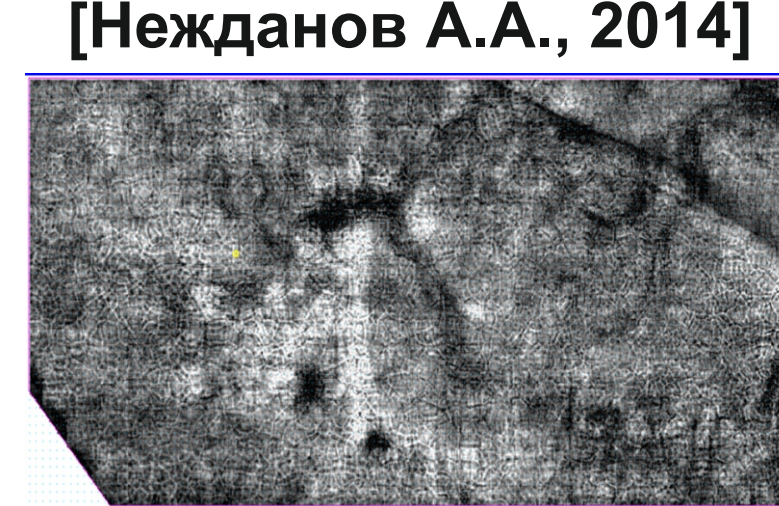


Почвы: серо-бурые пустынные, такыры, песчаные пустынные. Глинистые пустыни

В западном направлении густота нарушений растёт и, где размер полигонов менее 200 м, отражение выглядит как цепочка малоразмерных дифрагирующих объектов. Амплитуда смещения отдельных блоков по вертикали меняется от 0 до 15 м. Плоскости разрывов имеют различные наклоны (от субвертикальных до 45°). В отдельных случаях видно смещение всего блока по

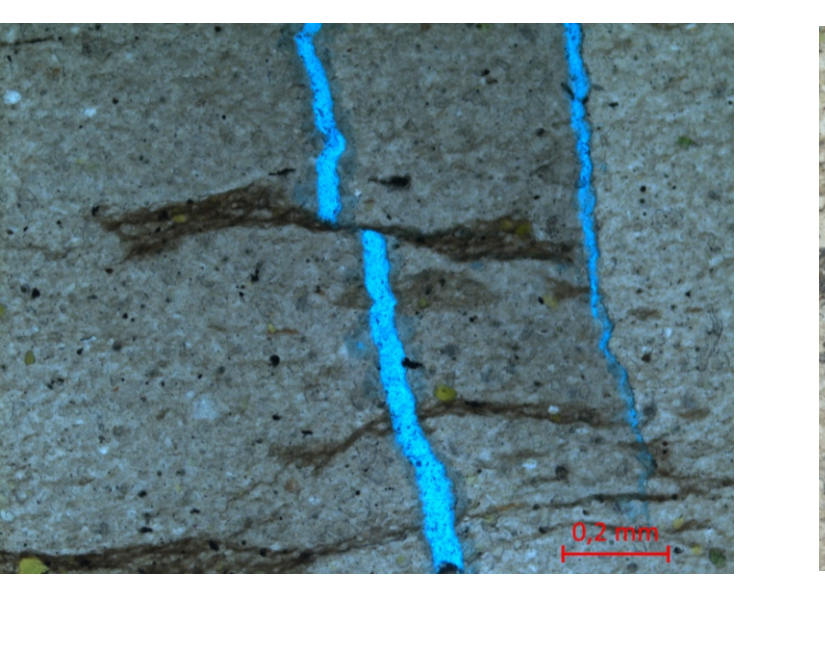
разрешающей способности сейсморазведки уже не хватает для их разделения, и сейсмическое вертикали на 3-10 м, но чаще всего линия разрыва отмечается изгибом краёв блоков вверх или вниз [Гогоненков и др., 2002]

Карта максимальных отрицательных амплитуд по ОГ С2 Енъяхинское месторождение [Нежданов А.А., 2014]



Сенонские газовые залежи – продукт флюидогеодинамических процессов Медвежий ЛУ [Нежданов А.А., 2014]

Примеры трещин синерезиса



Пласт НБ1,

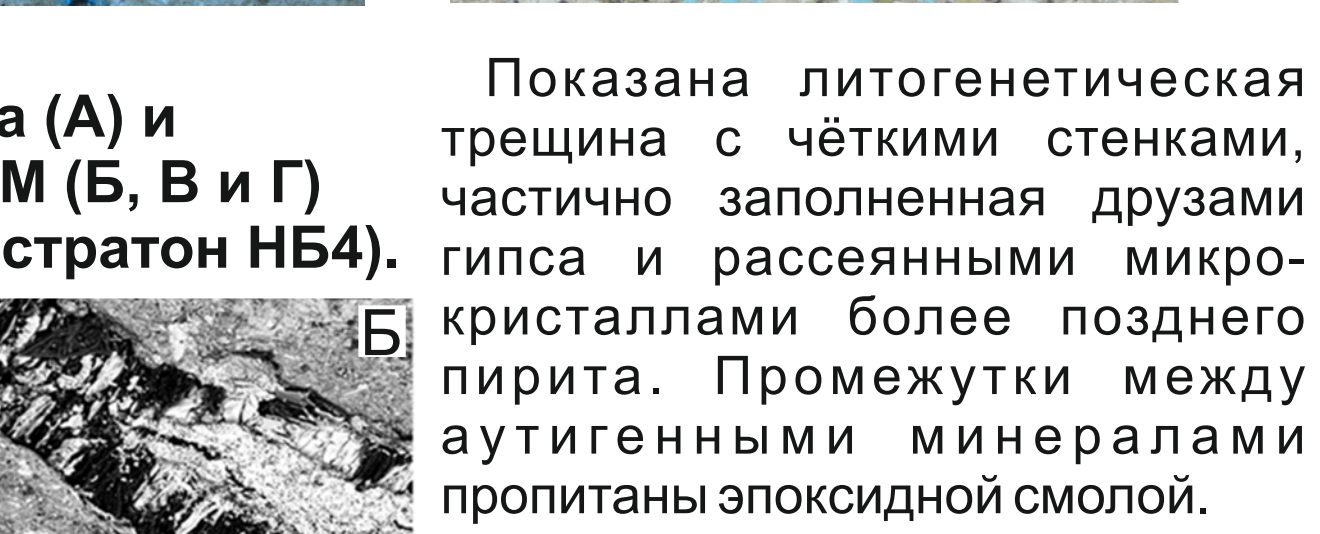
вертикальный срез шлифа



Пласт НБ4,

вертикальный срез

Фото шлифа (А) и Изображения РЭМ (Б, В и Г) опоковидных глин (стратон НБ4).



пирита. Промежутки между аутигенными минералами пропитаны эпоксидной смолой. — результат формирования пустотного пространства при высыхании (испарении растворителя) эпоксидной смолы (коллоида по сути, как и глинисто-кремнистые

илы берёзовской свиты), Пустоты вытянутой формы ориентированы литогенетическую трещину (рис. А, в крест простиранию стенок трещины <u>(аналогично конкрециям-септариям)</u>

могут оставаться и полыми. 1. Показано фрактальное самоподобие природных объектов разного типа (бассейнов седиментации, водных потоков, дельт, слоистости, циклов).

Септарии - глинисто-карбонатные конкреции в осадочных породах, содержащие внутри

себя радиально ориентированные трещины, расширяющиеся к центру конкреции. Во

многих септариях есть также сообщающиеся с радиальными тангенциальные трещины,

все вместе они образуют единую внутреннюю полость. Трещины эти часто бывают

минерализованы, что создаёт перегородчатый рисунок, по которому септарии и получили

свое название (от лат. "septum" – перегородка). Когда полости трещин в септариях

минерализованы, их стенки покрыты кристаллами, кристаллическими или

сферолитовыми корками, нередко они целиком заполнены минеральным веществом. Но

2. Установлена морфологическая аналогия природных систем трещиноватости в осадочных отложениях (пелитоморфных глинисто-кремнистых, изначально высоко водонасыщенных илахколлоидах) – от полигональной (сотни метров) до такыров и септарий (конкреций).

3. Сделан вывод о формировании трещин при обезвоживании отложений (трещины синерезиса с поверхности, в замкнутой системе – септариевого типа).

4. Разномасштабные формы проявления трещин усыхания являются выражением принципа фрактального самоподобия.

5. Очевидно, результаты изучения микротрещин синерезиса лабораторными методами пригодны для характеристики трещин более высокого порядка.